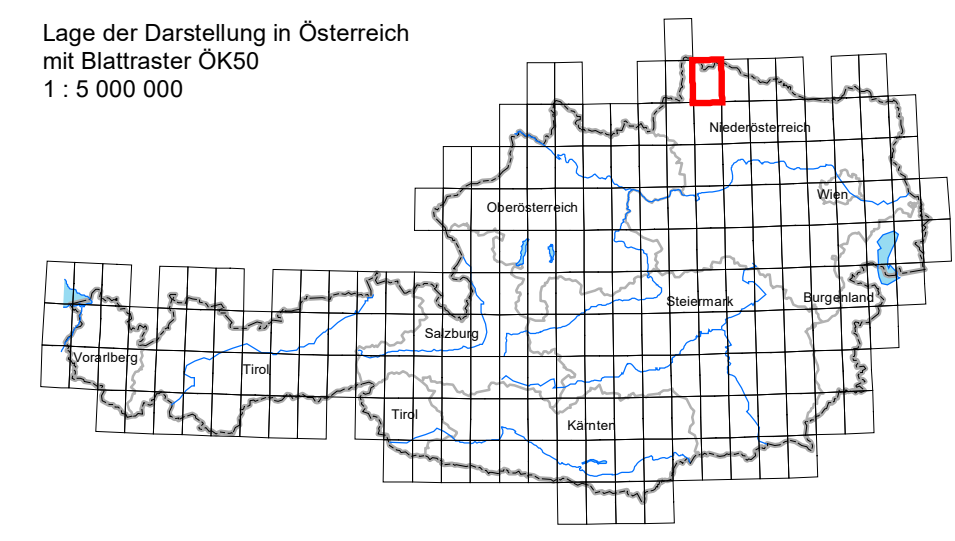
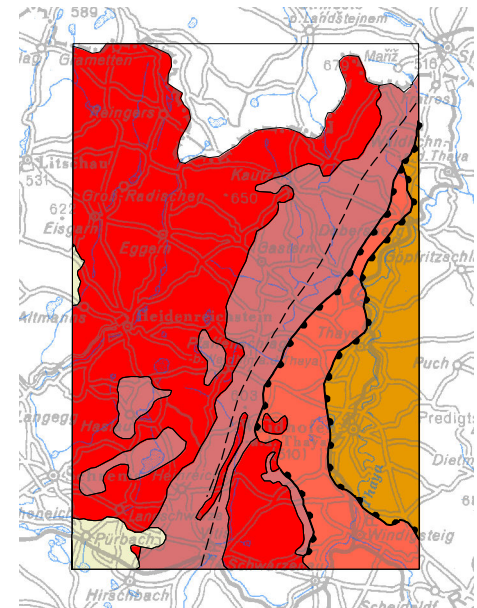


Lage der Darstellung in Österreich mit Blatttrafer ÖK50 1:5 000 000



Geologisch-tektonische Übersicht 1: 400 000



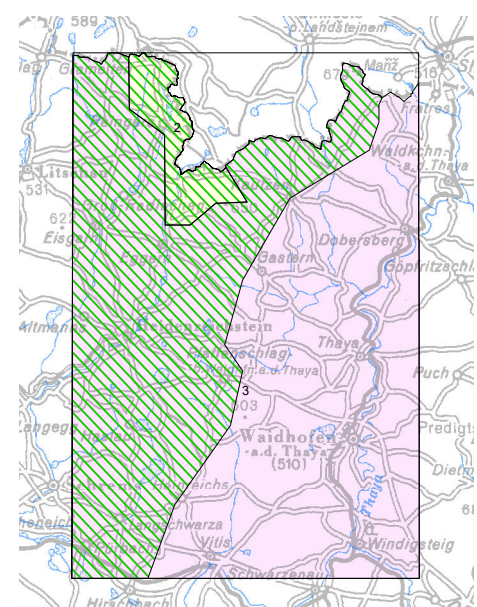
- Eurasische Platte**
Autochthone Molasse und oligozän-neogene Sedimente auf der Böhmisches Masse (Informell 2012/1217)
Autochthone Molasse und oligozän-neogene Sedimente auf der Böhmisches Masse / Känozoische Sedimente des Europäischen Vorlandes
- Moldanubikum**
Südböhmischer Batholith
Moldanubische Decken
Gföhl-Deckensystem
- Drosendorf-Deckensystem ("Bunte Serie")**
Drosendorf-Deckensystem ("Bunte Serie")
Ostzong-Deckensystem ("Monotone Serie")
Ostzong-Deckensystem ("Monotone Serie")



Erhältlich im Verlag der GeoSphere Austria, www.geosphere.at, A-1190 Wien, Hohen Warte 38
© 2024 GeoSphere Austria, Datensatz publiziert unter www.tethys.at - Topografie Stand 2020, © BVL - Bundesamt für Eich- und Vermessungswesen CC BY 4.0

Projektbeauftragung: E. Hinterberger, Projektleitung: G. E. U. Griesemer, Redaktion: G. E. U. Griesemer, GIS-Datenbank: I. Bayer, Layout: I. Bayer

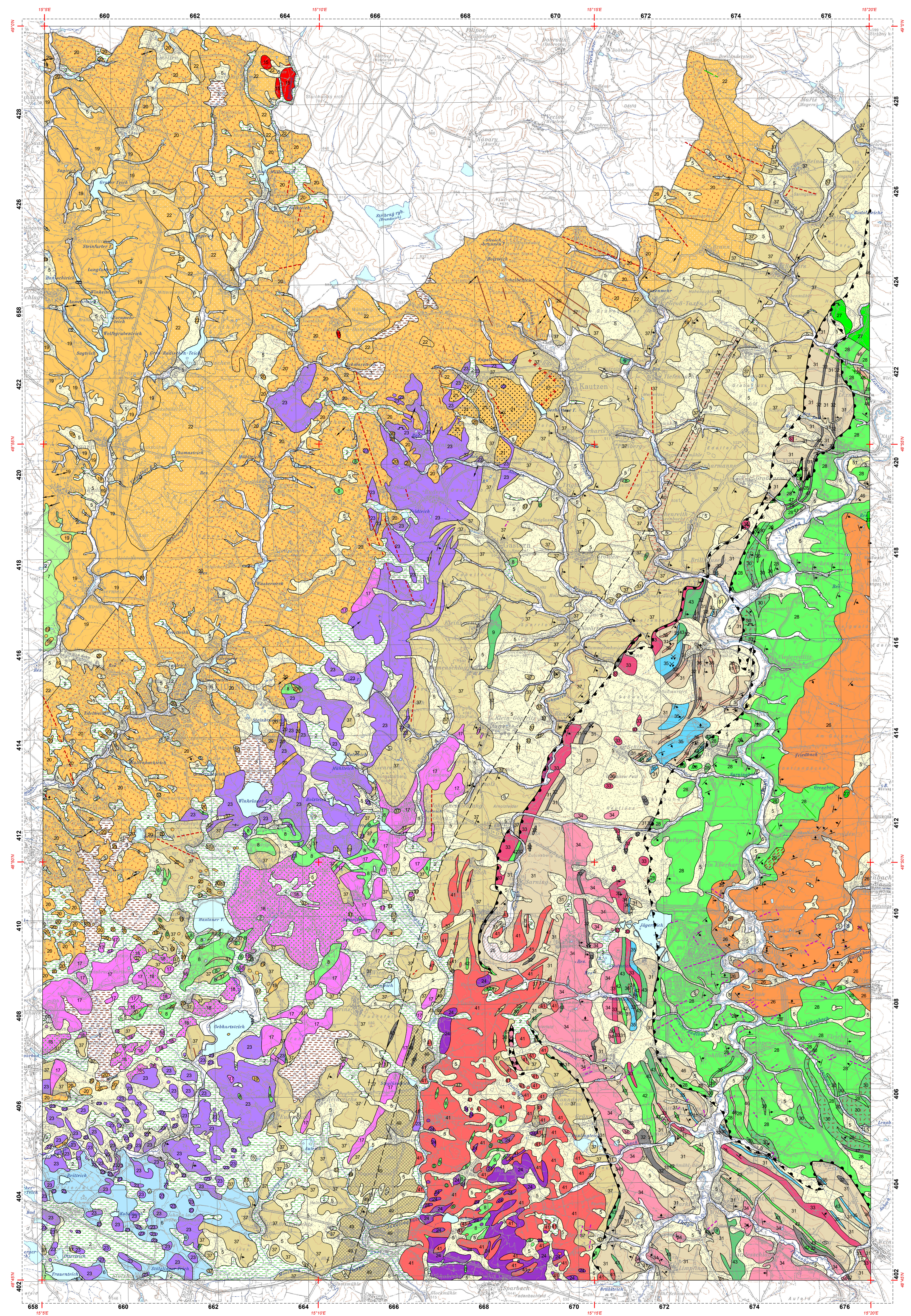
Übersicht der eingearbeiteten Karten



- Schnabel, W., Fuchs, G., Matura, A., Rostzel, R., Schaubert, S., Koenig, H., Egger, J., Schnabel, W., Bryda, G., Mandl, G., Nowotny, A. & Wessely, G. (2002): Geologische Karte von Niederösterreich 1:200 000. - Verlag der Geologischen Bundesanstalt, Wien.
- Prinzl, A. (1992): Final report on geological mapping in Kautzen-Reingers area (Niederösterreich). - 20 S., unpubliziert, Wien.
- Waldmann, L. (1960): Lössschau und Grund 1:75.000 mit den angrenzenden Teilen der Bitter Neuhaus und Budweis-Grätzen. - Geologische Bundesanstalt, Wien.

Kompilation:
O. Kreuss & M. Linner (GeoSphere Austria, 2024)

Unter Verwendung LaserScan NOGIS



- QUARTÄRE SEDIMENTE UND FORMEN**
- Anthropogen verändertes Gelände (Aufschüttung, Deporie)
 - Bach- oder Flussablagerung, Austufe größerer Gerinne (Schluff, Sand, Kies)
 - Terrassenkante
 - Vernässung, Anmoor, Niedermoor
 - Torfmoor
 - Schutt- und Schwemmkegel, Murenkegel
 - Sollfuktions- und Flächenpflügsediment, z.T. äolische Sande (Silt, Sand, Kies)
 - Schotter unbestimmten Alters (? Pleistozän)
- AUTOCHTHONE MOLASSE UND OLIGOZÄN-NEOGENE SEDIMENTE AUF DER BÖHMISCHEN MASSE**
- Autochthone Molasse und oligozän-neogene Sedimente auf der Böhmisches Masse / Känozoische Sedimente des Europäischen Vorlandes
- St. Marein-Freischling-Formation (Feldspatreicher Grobsand, Kies, Schluff, Illmisch-fluviatil; Kiscellium - Eggenburgium)
- POSTVARISISCHE BEDECKUNG DES EUROPÄISCHEN VORLANDES**
- Mesozoische und Känozoische Sedimentfüllung der Südböhmischen Becken
- Südböhmische Becken
- Wittingauer Becken
- Klikov-Formation ("Gmünder Schichten", Feldspatreicher Grobsand, Konglomerat, Pflanzen führender Sand- und Tonstein, Kohle, lakustrin; Oberkreide)
- MOLDANUBIKUM**
- Kataklast
 - Quarzgang
- Südböhmischer Batholith**
- Granitporphyr und Granitgänge
 - Granitporphyr des Eisgarner Granits (Quarz, roter Kalifeldspat, Biotit, Muskovit, Mississippium)
 - Granitporphyr des Weinsberger Granits und Rastenberger Granodiorits (Mississippium)
 - Aplit des Eisgarner Granits
 - Größen (hydrothermal veränderter Granit, Ilmisch)
 - Minette (dunkelbraunes, dunkelgrünes, biotitreiches Ganggestein, Ti führend)
 - Karsteint (Alkalimporphyr, grüngrau, mit Alkalihomblende, Ägrin, Mikrokin, Biotit)
 - Thureit (Alkalimette, Hornblendesyenit mit rölichem Kalifeldspat)
 - Zweiglimmer-Ganggranit (mittelkörnig)
 - Mauthausener Granit, Schremser Granit, Feinkongranite l. a. (Fein- bis mittelkörniger Biotit-Granit, Grandiorit, Pennsylvanum)
 - Wolfsegger Granit (Biotit-Granit, mittelkörnig; Pennsylvanum)
 - Biotit- und Zweiglimmer-Granit (hell, fein- bis mittelkörnig, tw. Turmalin führend; Mississippium)
 - Eisgarner Granit (Zweiglimmer-Granit, mittel- bis grobkörnig, mit leistenförmigen Kalifeldspat-Einsprenglingen; Mississippium)
 - Eisgarner Granit (Zweiglimmer-Granit, fein- bis mittelkörnig; Mississippium)
 - Eisgarner Granit, Typ Cimér (Zweiglimmer-Granit, grobkörnig, porphyrischer Kalifeldspat; Mississippium)
 - Eisgarner Granit, Typ Englebrechts (Zweiglimmer-Granit, mittelkörnig; Mississippium)
 - Weinsberger Granit (Biotit-Granit, sehr grobkörnig, mit idiomorphem Großkalifeldspat; Mississippium)
 - Rastenberger Granodiorit (dunkel, grobkörnig, biotitreich, Hornblende führend, Dioritschollen; Mississippium)
 - Diorit
 - Gabbro (grobkörnig-porphyrisch, faserig)
- Moldanubische Decken**
- Gföhl-Deckensystem**
- Gföhrer Gneis (migmatitischer Granitgneis, vereinzelt Granulitbanke, Granat-, Sillimanit- und Disthen führend)
 - Bronzit-Olivinfels
 - Amphibolit
 - Anorthositamphibolit (Vestenötting)
 - Augitgneis
 - Paragneis
 - Graphitgneis
 - Quarzit
- Drosendorf-Deckensystem**
- Paragneis
 - Gneis von Hohenau (grobkörniger, migmatischer Biotitgneis)
 - Graphitgneis, Graphitschiefer
 - Granitgneis (Typ Meires: blastomyonitischer, mittelkörniger Zweiglimmer-Granitgneis mit pegmatitischer Zusammensetzung, Turmalin führend)
 - Marmor (Katzl-Dolomit-Marmor, Graphit- und Glimmer führend; Neoproterozoikum)
 - Quarzit
 - Amphibolit
 - Dobra-Gneis (fein- bis grobkörniger Granit- und Mesoproterozoikum)
 - Augitgneis
- Ostzong-Deckensystem**
- Anatektischer Paragneis, biotitreich, Cordierit- und Sillimanit führend
 - Graphitgneis, Graphitschiefer
- Diverse Zeichen**
- Störung (vermutet)
 - Deckengrenze höherer Ordnung (gesichert)
 - Deckengrenze höherer Ordnung (vermutet)
- Streichen und Fallen der Schieferung und Schichtung**
- 6 - 30°
 - 31 - 60°
 - 61 - 85°
 - 86 - 90°
- Streichen und Fallen der Faltenachsen oder Lineationen**
- 0 - 5°
 - 6 - 15°
- Sonstige**
- Steinbruch
 - Bergbau aufgelassen
 - Gewässer

1 : 50 000 (1 cm ≅ 500 m)



Gauß-Krüger-Abbildung, Koordinatensystem M 34 des Bundesmessnetzes

Hinweis für NutzerInnen
GEOFASST-Karten werden überwiegend aus Archivunterlagen der GeoSphere Austria erstellt. Ergänzend können auch publizierte Karten, meist älteren Datums, in die Zusammenstellung einfließen. Eine Überprüfung durch zusätzliche Geländebegahrungen erfolgt nicht. Diskontinuitäten zwischen den verwendeten Kartenunterlagen verschiedener Autoren werden bewusst beibehalten und können sich als Sprünge in den Konturlinien äußern. Geologische Inhalte werden in die aktuellen stratigraphischen und tektonischen Modelle überführt. Aufgrund der Übertragung der geologischen Inhalte von Karten mit veralteter Topografie und größeren Maßstäben in die aktuelle topografische Grundlage sind Lagegenauigkeiten vorhanden.